

زمین‌شناسی، ژئوشیمی و الگوی تشکیل کانه‌زایی آهن در توالی آتش‌فشاری-رسوبی ژوراسیک کانسار داش‌آغل، شمال شرق بوکان، پهنه سندج-سیرجان

سجاد مغفوری^(۱)، مهدی موحدنیا^(۲) و محمدرضا حسین‌زاده^(۳)

۱. استادیار گروه زمین‌شناسی اقتصادی، دانشکده علوم پایه، دانشگاه تربیت مدرس، تهران
۲. دانشجوی دکتری گروه زمین‌شناسی اقتصادی، دانشکده علوم پایه، دانشگاه تربیت مدرس، تهران
۳. استاد گروه علوم زمین، دانشکده علوم طبیعی، دانشگاه تبریز، تبریز

تاریخ دریافت: ۹۷/۰۶/۲۸

تاریخ پذیرش: ۹۷/۱۱/۱۶

چکیده

کانه‌زایی آهن در کانسار داش‌آغل در شمال شرق شهرستان بوکان، در توالی آتش‌فشاری-رسوبی ژوراسیک رخ داده است. سنگ میزبان کانه‌زایی در این کانسار ماسه‌سنگ و توف‌های کربناته می‌باشند. با توجه به ژئومتری و ساخت و بافت ماده‌معدنی، دو تیپ کانه‌زایی در منطقه قابل تشخیص است. کانه‌زایی تیپ اولیه که کانه‌زایی اصلی، اولیه و عمده در منطقه می‌باشد و هم‌روند با لایه‌بندی سنگ میزبان است. ماده معدنی در این نوع کانه‌زایی با بافت‌های توده‌ای، لامینه، دانه‌پراکنده همراه با سیلیس، توف و آهک می‌باشد. کانی‌شناسی کانستگ شامل هماتیت، مگنتیت، لیمونیت و گوتیت بوده و به صورت پراکنده کانی پیریت نیز مشاهده شده است. کانی‌های گانگ از جمله کوارتز، کلسیت، کلریت و فلذسپار ماده معدنی را همراهی می‌کند. کانه‌زایی نوع دوم، شامل مجموعه‌ای از رگه‌های ثانویه و قطع کننده لایه‌بندی سنگ میزبان می‌باشد که در راستای گسل‌های نرمال تشکیل شده بافت ماده معدنی شامل برشی و رگ-رگچه‌ای است. با توجه به مجموعه‌ی ویژگی‌های شاخص کانه‌زایی در کانسار داش‌آغل از قبیل جایگاه خاص چینه‌ای، ژئومتری ماده معدنی، بافت، توالی پارازیتیک کانی‌ها و کانه‌ها و ویژگی‌های ژئوشیمیایی، کانسار آهن داش‌آغل یک نهشته چینه‌سان، با میزبان ماسه‌سنگ-توف کربناتی هست که در توالی آتش‌فشاری-رسوبی ژوراسیک و در یک حوضه کم‌عمق تشکیل شده است.

واژه‌های کلیدی: چینه‌سان، ماسه‌سنگ و توف‌های کربناتی، ژوراسیک، کانسار آهن داش‌آغل، بوکان.

مقدمه

فلزی و غیرفلزی مهمی شناسایی شده‌اند که از جمله آن‌ها می‌توان به کانسار سولفید توف‌های آتش‌فشار زاد غنی از طلا و باریکا در سنگ‌های آتش‌فشاری-رسوبی زیردریایی دگرگون شده متعلق به کرتاسه تشکیل شده است، اشاره کرد (تاج‌الدین و همکاران، ۱۳۸۹). همچنین کانسارهای آهن در منطقه شمال غرب همدان (کانسارهای بابا علی (همه کسی)، اندیس چنار

گستره مورد مطالعه در فاصله ۱۳ کیلومتری شمال شرقی بوکان و ۱۹ کیلومتری غرب شاهین‌دژ در حاشیه شمالی پهنه پرتکاپوی سندج-سیرجان و در زیرپهنه با دگرشکلی پیچیده (Mohajjel et al., 2003) واقع شده است (شکل ۱). در پهنه سندج-سیرجان شمالی تاکنون ذخایر

* نویسنده مرتبط: S.Maghfouri@modares.ac.ir

منطقه مورد مطالعه همراه با نمونه‌برداری از کانسنگ‌های آهن و سنگ‌های کمربالا و کمرپایین در طول و عرض نهشته است. پس از بررسی‌های صحرابی، مطالعات آزمایشگاهی با انتخاب و تجزیه ۱۰ نمونه از کانسنگ‌های آهن به روش‌های انتخاب و تجزیه ICP-MS XRD, XRF, توسط شرکت فولادگستر برای تعیین فازهای کانیایی و عنصری واحدهای سنگی و معدنی انتخاب و در شرکت کانساران بینالود آنالیز شدند. برای مطالعه کانی‌شناسی و کاندهای آهن، تعداد ۴۵ مقطع نازک و نازک-صیقلی از کانه‌های آهن و سنگ‌های دربرگیرنده ماده معدنی و از واحدهای سنگی موجود تهیه شد.

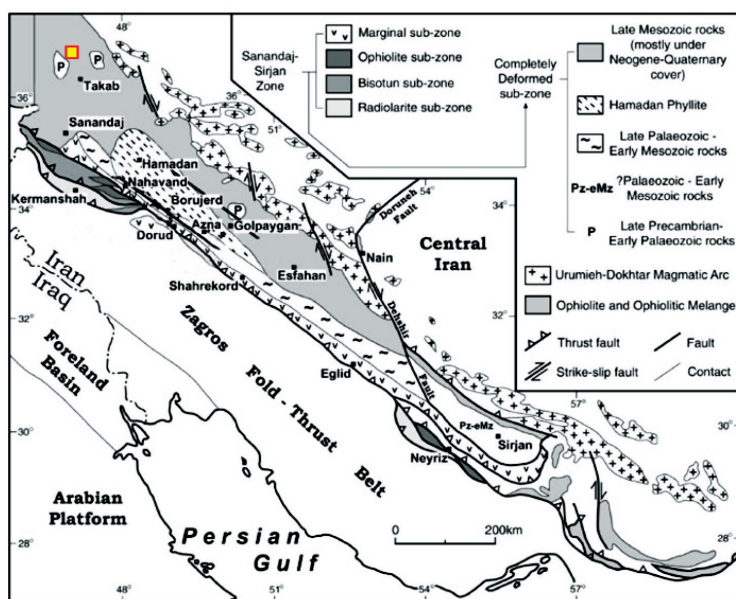
علیا و میمانت آباد (توکلی، ۱۳۸۳) و نهشته‌های زغال‌سنگ در منطقه ییکلو میاندوآب در واحدهای ژوراسیک گزارش شده است (ثیاب قدسی، ۱۳۸۹). کانسار آهن داش‌آغل، از مهم‌ترین کانسارهای آهن می‌باشد که در طی سال‌های اخیر در بخش شمالی پهنه سمند-سیرجان اکتشاف شده است. در این منطقه کانه‌زایی آهن در سنگ میزان ماسه‌سنگی و توف‌های کربناتی ژوراسیک با ژئومتری هم‌رونده با لایه‌بندی رخ داده که هدف این مقاله، بررسی جایگاه چینهای، سنگ‌شناسی، کانی‌شناسی، بافت و ساخت و تعیین الگوی تشکیل کانه‌زایی آهن در کانسار داش‌آغل، می‌باشد.

زمین‌شناسی ناحیه‌ای

گستره مورد مطالعه در محدوده نقشه‌های زمین‌شناسی ۱:۱۰۰۰۰۰ (میاندوآب (خداونده، ۱۳۸۳) و ۱:۲۵۰۰۰۰ (افتخارنژاد، ۱۳۵۲) واقع شده است. قدیمی‌ترین واحد سنگی دارای رخنمون در گستره، شامل واحدهای دولومیتی، شیلی، ماسه‌سنگی سازند میلا می‌باشد که در بخش بالایی دولومیت‌ها، ضخامتی حدود ۲۰۰ متر، سنگ‌آهک‌های اسپاری بنفس رنگ نازک لایه به همراه کمی شیلهای اسلیتی قرار دارند. سازندهای پرمین، با مرز دگرشیب، سازند میلا را می‌پوشاند.

روش مطالعه

مطالعه نهشته آهن داش‌آغل، در دو بخش صحرابی و آزمایشگاهی صورت گرفته است. مطالعات صحرابی شامل بررسی شکل هندسی ماده معدنی و نقش فرآیندهای زمین‌ساختی در ریخت‌شناسی نهشته، تغییرات ساخت و بافت انواع مختلف سنگی حاضر، نحوه ارتباط نهشته با سنگ‌های دربرگیرنده ماده معدنی آهن، تهیه پروفیل (مقطع) زمین‌شناسی به صورت عمود بر روند لایه‌بندی، تهیه ستون چینه‌شناسی از منطقه معدنی داش‌آغل بر اساس برش‌های زمین‌شناسی تهیه شده و نهایتاً تهیه نقشه زمین‌شناسی از

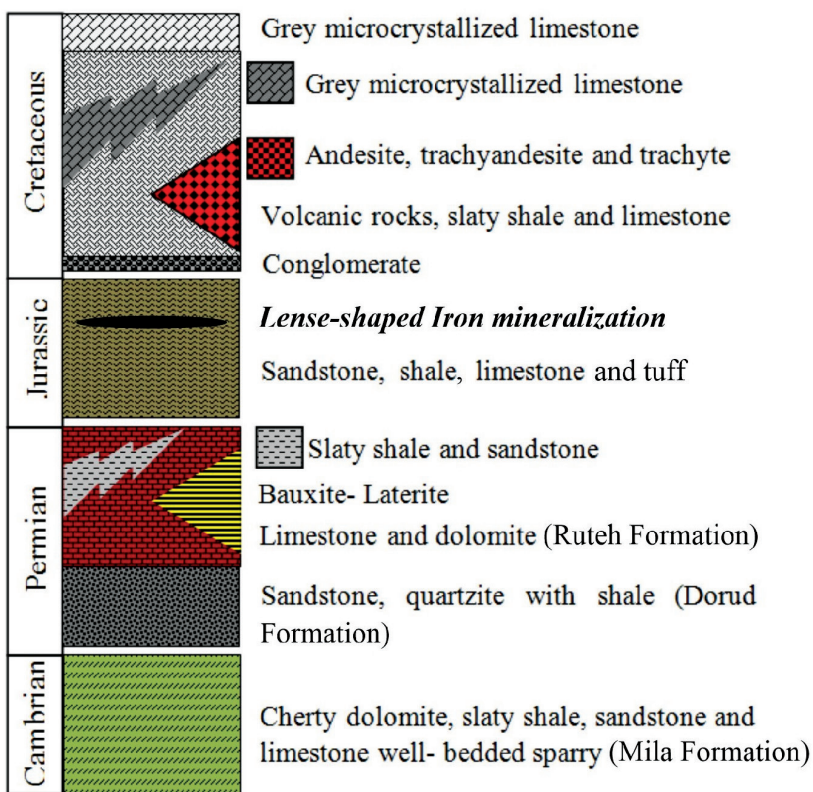


شکل ۱. موقعیت کانسار داش‌آغل در زیر پهنه با دگرشکلی پیچیده (Completely deformed sub-zone) از زیر پهنه‌های تکتونیکی پهنه سمند-سیرجان (Mohajjel et al., 2003). موقعیت منطقه مورد مطالعه با علامت مریع زرد نشان داده شده است

ترکیب آواری-کربناته و آتشفسانی-رسوی بوده و دارای میان لایه‌هایی از آهک‌های میکروکریستالین و گدازه‌های آندزیتی تا تراکیتی می‌باشد (شکل ۲). در گستره مورد مطالعه انباشته‌های کرتاسه گسترش قابل توجهی دارند که براساس فسیلهای یافت شده، بیشتر سن کرتاسه‌پیش تا پسین را نشان می‌دهند.

نظر به اینکه سنگ‌های درونگیر ذخیره آهن داش‌آغل سنگ‌های تخریبی و توف‌های کربناتی ژوراسیک است (شکل‌های ۳ و ۴)، لذا ویژگی‌های این واحدهای سنگی بیشتر مورد بررسی قرار گرفته است.

واحدهای سنگی پرمین در منطقه شامل سازندهای درود و روته می‌باشد (شکل ۲). سازند درود با ضخامتی حدود ۱۵۰-۲۰۰ متر، متشکل از ماسه سنگ، شیل و کوارتزیت است که به سمت بالا به تدریج به سازند روته تبدیل می‌شود. سازند روته شامل تنابی از دولومیت و سنگ آهک است که در بخش زیرین و میانی آن افق‌های لاتریتی-بوکسیتی وجود دارد. در بعضی از بخش‌ها سازند روته دارای تغییر رخساره جانبی به شیل‌های سیلتی و ماسه‌سنگ‌ها نشان می‌دهد (شکل ۲). واحدهای مربوط به زمان ژوراسیک از نظر رخساره از تنوع زیادی برخوردار هستند. بخش بزرگ این واحدها دارای



شکل ۲. ستون چینه‌شناسی شماتیک و ساده شده از واحدهای سنگی موجود در نقشه ۱:۱۰۰۰۰۰ میاندوآب (خابنده، ۱۳۸۳) و موقعیت کانه‌زایی عدی در مجموعه آتش‌فسانی-رسوی ژوراسیک و نهشته‌های بوکسیتی-لاتریتی بین آهک‌ها و دولومیت‌های پرمین

شیمیایی، دارای دامنه گسترهای است که عمدهاً ب انواع خرده‌سنگ‌های موجود در آن وابسته است (Tucker, 2001). این واحد سنگی که در منطقه معدنی داش‌آغل در بخش کمپیابین کانسار دیده می‌شود به صورت هم‌رونده و هم‌شیب با دیگر واحدهای سنگی در منطقه رخنمون دارد. ترکیب خرده سنگ‌ها شامل چرت، فلدسپار آلکالن،

همان‌طور که در نقشه زمین‌شناسی کانسار داش‌آغل نشان داده شده است (شکل ۳)، سنگ میزان کانه‌زایی آهن شامل ماسه‌سنگ و توف کربناتی می‌باشد. بخش عمده ماسه‌سنگ‌های موجود در منطقه داش‌آغل دارای ترکیب آركوزی تا لیتارنایتی می‌باشند. لیتارنایت از نظر ترکیب، هم در رابطه با نوع دانه و هم ترکیب

ویزگی‌های اصلی دو نوع کانه‌زایی هم‌روند با لایه‌بندی و کانه‌زایی رگه‌ای ثانویه، پرداخته شده است:

الف- کانه‌زایی هم‌روند با لایه‌بندی (عدسی شکل)
 کانه‌زایی هم‌روند با لایه‌بندی، که بخش اصلی و عمدۀ کانه‌زایی را در کانسار داش‌آغل تشکیل می‌دهد، شامل ساخته‌های لایه‌ای، عدسی و لامینه است (شکل ۵). از ویزگی‌های این تیپ کانه‌زایی، هم‌روندی و هم‌شیب بودن آن با سنگ میزبان و تناوب آن با میان لایه‌های ماسه‌سنگ و توف است (شکل ۵). عدسی‌های چرتی غنی از آهن در آهک‌های کمربالای کانسار داش‌آغل نیز مشاهده می‌شوند (شکل ۵ پ، ت) که این عدسی‌های چرتی نشان‌دهنده فوران سیالات هیدروروتمالی داغ آهن و سیلیس دار هم‌زمان با تهنشست لایه‌های کربناتی و توفی می‌باشد (Crerar, ۱۹۸۲). از دیگر شواهد اولیه و هم‌زمان بودن تهنشست کانسار با دیگر واحدهای سنگی می‌توان به وجود مرز تدریجی بین لایه‌های پرعيار و کم‌عيار آهن در کانسار داش‌آغل اشاره کرد. وجود کلریت فراوان به همراه سیلیس می‌تواند نشان‌دهنده وجود فعالیت آتش‌فسانی احتمالی باشد که منشأ این مواد محسوب می‌شود. همراهی ماده معدنی با این کانی‌ها می‌تواند نشان‌دهنده منشأ مشترکی برای آهن و کانی‌های همراه آن‌ها باشد.

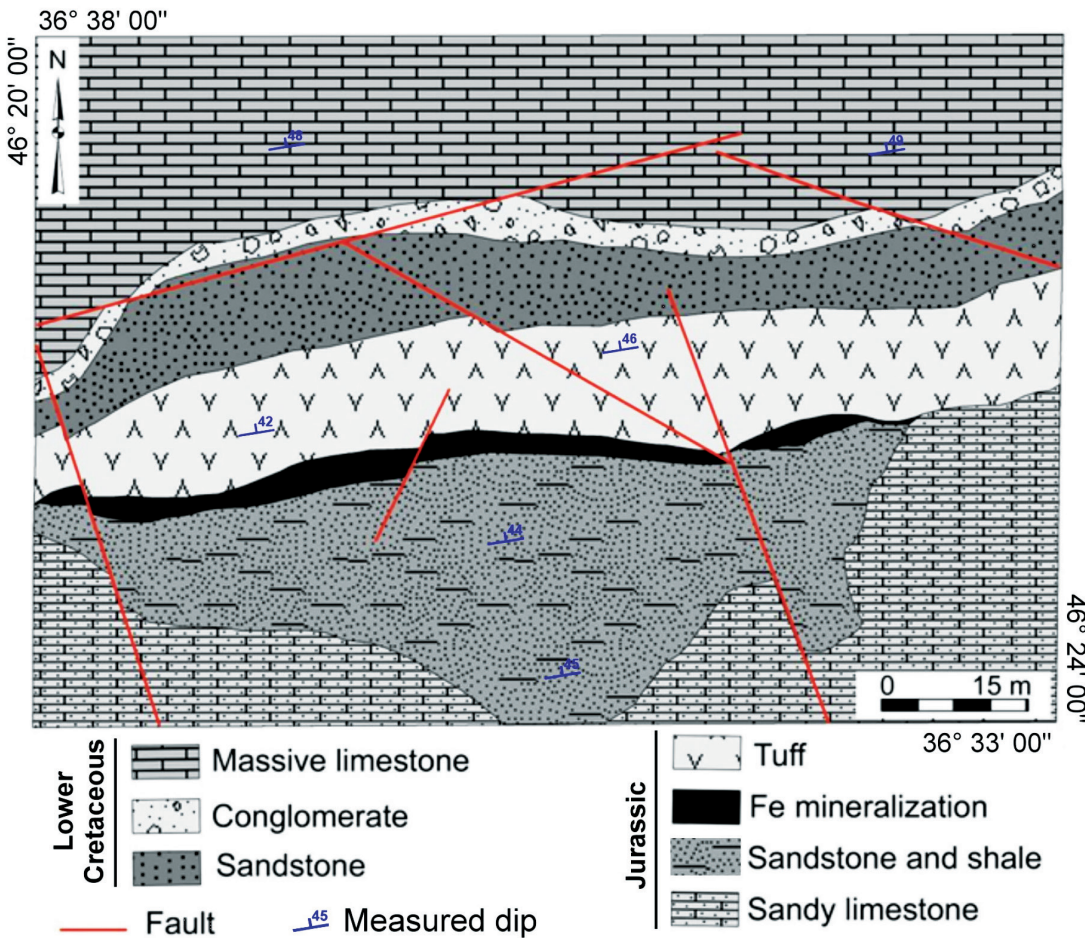
ب- کانه‌زایی در امتداد گسل‌ها و شکستگی‌ها (رگه- رگچه‌ای)

این تیپ کانه‌زایی در کانسار داش‌آغل، به صورت رگه- رگچه‌ای و در مجاورت گسل‌ها و شکستگی‌های سنگ میزبان رخ داده است. برخلاف کانه‌زایی نوع اول، لایه‌بندی سنگ میزبان توسط این رگه- رگچه‌ها قطع می‌شود. به نظر می‌رسد در اثر تحرک مجدد ماده معدنی اولیه هم‌روند با لایه‌بندی و تمرکز آن در شکستگی‌های کمربالای افق ماده معدنی (شکل ۶)، کانه‌زایی نوع دوم تشکیل شده است. در این نوع از کانه‌زایی سنگ‌ها به شدت خردشده و بافت رگه- رگچه‌ای، برشی و کاتاکلاستیکی در کانسنگ‌ها ایجاد شده است. برخلاف گسل‌های کانه‌دار، گسل‌هایی که عدسی اولیه را قطع نکرده‌اند قادر کانه‌زایی آهن می‌باشند.

کلریت و پلازیوکلاز می‌باشند که توسط سیمانی از گوتیت و هماتیت به هم متصل شده‌اند (شکل ۷). توف‌های کربناتی تنها واحد پیروکلاستیکی موجود در منطقه مورد مطالعه می‌باشند که در کمربالای افق ماده معدنی به صورت هم‌روند با سایر واحدهای رسوبی با خاصیت‌های متغیری نهشته شده‌اند. به علت پوشیده شدن با رسوبات عهد حاضر، این واحد ولکانیکی بسیار کمی در سطح زمین داشته و عمدتاً در گمانه‌های حفاری شده در کمربالای افق معدنی و در سینه کار استخراجی معدن قابل مشاهده است که از نازک لایه‌های توفی با میان لایه‌هایی از توف برش تشکیل شده است (شکل ۴). این واحد دارای رنگ سبز کمرنگ و به طور عمده متشکل از پلازیوکلاز، کوارتز و کلریت است و ترکیب آن بازیک تا حد واسطه می‌باشد. این واحد ولکانیکی نشان از تهنشست و تمرکز واحدهای آتش‌فسانی- رسوبی در یک محیط زیردریایی است که افق کانه‌دار آهن و رسوبات ساحلی یعنی ماسه‌سنگ‌ها و رسوبات کربناتی هم‌زمان باهم در یک محیط کششی تشکیل شده‌اند.

کانه‌زایی آهن

کانسار داش‌آغل یکی از ذخایر بزرگ آهن در منطقه مورد مطالعه است. ماده معدنی به صورت عدسی شکل با ابعاد ۷۰ تا ۱۰۰ متر و ضخامت ۲ تا ۴ متر دیده می‌شود (شکل ۳). امتداد توده معدنی شرقی- غربی تا شمال شرقی- جنوب غربی بوده و شبیه آن ۴۰ تا ۵۰ درجه به سمت شمال تا شمال غرب است (شکل ۳). عیار متوسط اکسید آهن در مجموع رخنمون‌های این کانسار، به صورت میانگین بین ۵۵ تا ۶۴ درصد برآورد شده است. علاوه بر عدسی اصلی ماده معدنی، عدسی‌های کوچکتری با همان روند در سطح زمین رخنمون دارند. ماسه‌سنگ‌های آرکوزی، که به صورت دانه پراکنده دارای کانه‌های آهن می‌باشد کمرپایین ماده معدنی را تشکیل می‌دهد. مجموعه توف‌های کربناتی نیز در کمربالای افق ماده معدنی قرار می‌گیرند. لازم به ذکر بخشی از ماده معدنی در کانسار داش‌آغل، به صورت ثانویه در پهنه‌های گسلی و شکستگی‌ها تمرکز یافته است؛ که در ادامه به بررسی



شکل ۳. نقشه زمین‌شناسی کانسار آهن داش‌آغل، افق کانه‌دار بین ماسه‌سنگ‌ها و توف‌های کربناتی قرار دارد

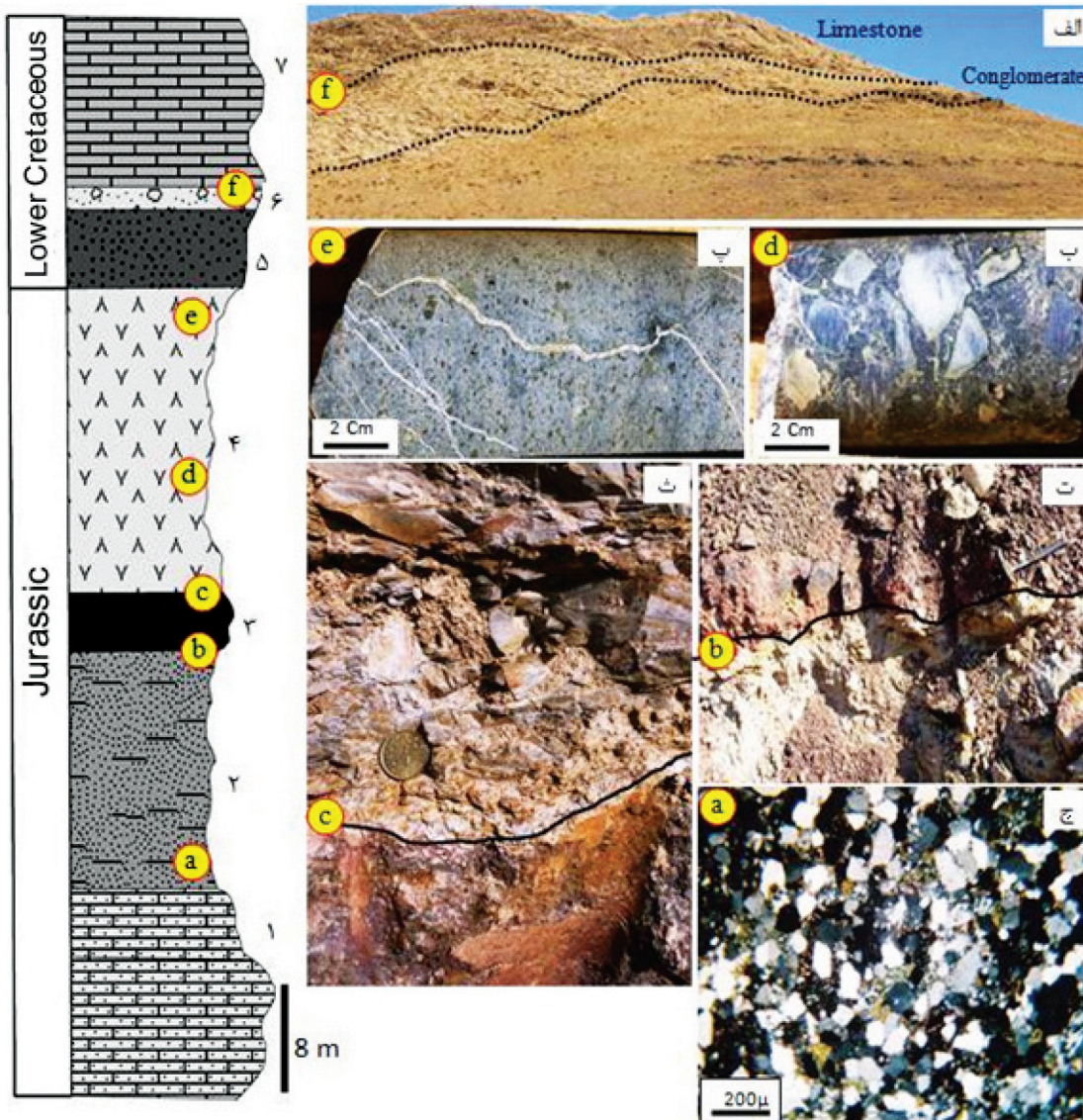
است. محصولات عمده هوازدگی در کانی‌های آهن موجود در منطقه، ایجاد اکسیدها و هیدروکسیدهای آهن مانند هماتیت، گوتیت و لیمونیت می‌باشد. ساخت و بافت‌های اصلی موجود در کانسنگ آهن کانسار داش‌آغل شامل لایه‌ای، دانه‌پراکنده و پرکننده فضای خالی می‌باشند که در ادامه مورد بررسی قرار گرفته است:

ساخت لایه‌ای

یکی از ساخت‌هایی که شرایط رسوبی اولیه تشکیل می‌شود، بافت لایه‌ای و لامینه است. این لایه‌ها عمدتاً شامل هماتیت و به مقدار کمتر از مگنتیت هستند. در مقیاس رخمنون این لایه‌ها هم‌روند با لایه‌بندی است و عمدتاً در بخش‌های کم‌عیار ماده‌معدنی و در بخش بالایی عدسی کانه‌دار دیده می‌شوند.

کانی‌شناسی و ساخت و بافت

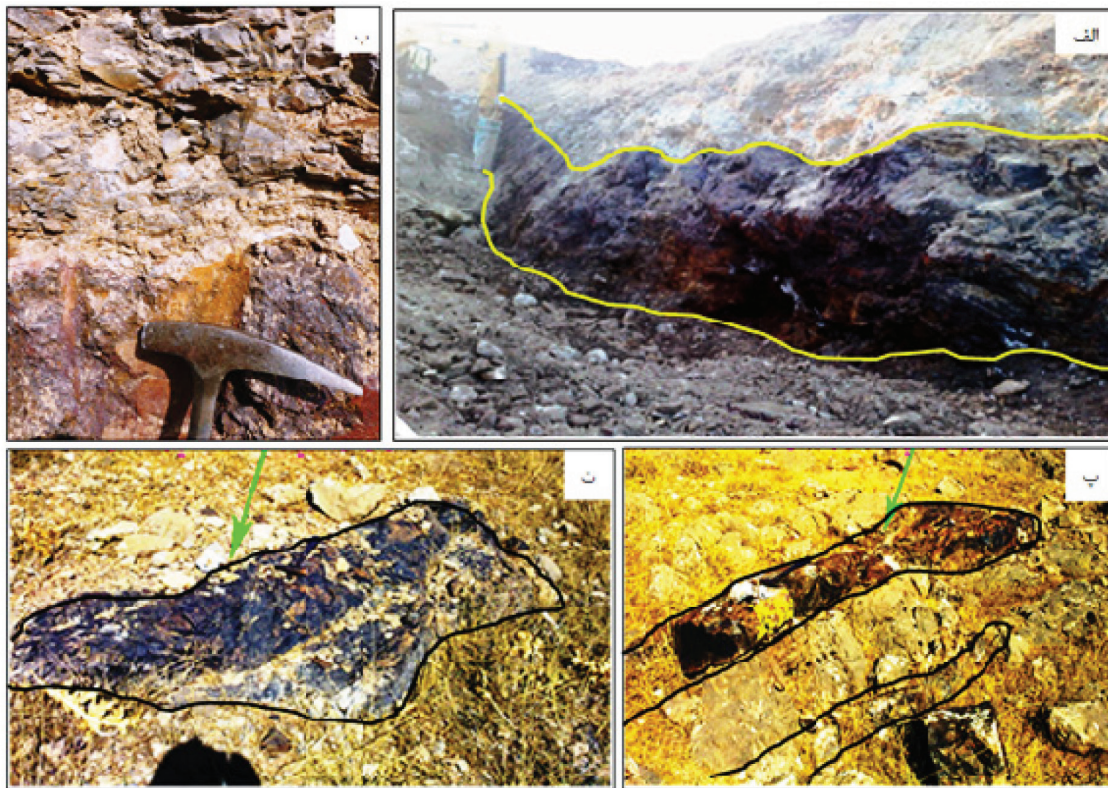
کانه‌های تشکیل‌دهنده کانسار داش‌آغل در مقاطع میکروسکوپی شامل هماتیت، مگنتیت، پیریت، لیمونیت و گوتیت می‌باشند که همراه کانی‌های باطله کوارتز، کلسیت، کلریت و آلکالی فلذ‌سپار مشاهده می‌شوند (شکل ۷). اصلی‌ترین کانه موجود در مقاطع میکروسکوپی کانسار آهن داش‌آغل هماتیت می‌باشد و با مقادیر اندکی مگنتیت همراهی می‌شود. بلورهای مگنتیت به صورت بافت دانه‌ای قابل مشاهده می‌باشد که در برخی نقاط به طور پراکنده و یا به صورت اجتماعی از چند بلور در کنار هم در متن سنگ میزبان تشکیل شده است (شکل ۷). پیریت در این ذخیره در نمونه دستی مشاهده نمی‌شود و فقط در بررسی مقاطع میکروسکوپی به میزان اندک قابل رویت



شکل ۴. ستون چینه‌شناسی کانسار آهن داش‌آغل بر اساس نقشه زمین‌شناسی و تصاویر مربوط به هر واحد سنگی با علامت لاتین نشان داده شده است، (۱)-آهک ماسه‌ای، (۲)-ماسه‌سنگ با میان لایه‌ای از شیل، (۳)-افق کانه‌دار داش‌آغل، (۴)- توف‌های کربناتی، (۵)-ماسه‌سنگ، (۶)-کنگلومرا، (۷)-آهک توده‌ای). (الف) تصویری از رخنمون آهک‌های کرتاسه که در شمال کانسار آهن داش‌آغل بر روی کنگلومرا ماسه‌ای قرار دارد. (ب) نمونه دستی از توف‌های ریزدانه که در قسمت‌های بالای واحد پیرولاستیکی دیده می‌شود، (پ) نمونه دستی از توف‌های کربناتی که دارای بافت بشی است، (ت) تصویر رخنمون افق کانه‌دار با توف‌های کربناتی که با علامت ۵ نشان داده شده است، (ث) تصویر از رخنمون واحد کانه‌دار با ماسه‌سنگ‌های کمرپایین که با علامت ۶ نشان داده شده است، (ج) تصویر میکروسکوپی از ماسه‌سنگ‌های کمرپایین که به صورت دانه پراکنده دارای کانی‌های اپاک می‌باشد.

ساخت دانه پراکنده

بانه پراکنده از جمله بافت‌های مهمی است که سنگ می‌باشد. این بافت به طور گستردگی در ماسه‌سنگ‌های کمرپایین دیده می‌شود که همراه با سایر ذرات تشکیل دهنده شواهد زایشی بسیار ارزشمندی در اختیار می‌گذارد. اولین نتیجه حضور مواد معدنی در این شکل، نهشت اولیه ماده معدنی در حین رسوب‌گذاری همراه با ذرات تشکیل دهنده



شکل ۵. (الف) کانی‌زایی همروند با لایه‌بندی، که بخش عمده ماده‌معدنی آهن را در کانسار داش‌آغل شامل می‌شود، (ب) تصویر رخنمونی از لایه کانه‌دار که به صورت همروند و هم‌شیب توسط توفهای کربناتی پوشیده می‌شود، (پ) تناوب لایه‌های آهن غنی از سیلیس با لایه‌های کربناتی، (ت) عدسی آهن در بین لایه‌های کربناتی

در بخش‌های گوناگون کانسار بین ۶۰/۸۷ تا ۸۱/۰۸ درصد تغییر می‌کند و میانگین آن در نمونه‌های تجزیه شده، ۷۳/۲۰، درصد است. در میان اکسیدهای عناصر اصلی باطله، سیلیس بیشترین فراوانی را دارد و میانگین آن ۲۲/۲۱ درصد می‌باشد. سیلیس بیشتر به شکل کانی کوارتز حضور دارد (جدول ۱).

از نسبت Si/Al می‌توان به عنوان ابزار ساده‌ای برای تشخیص نهشته‌های گرمابی، آبزد و خاکزد و شناسایی منبع تأمین کننده مواد این نهشته‌ها استفاده کرد (Choi and Hariya, 1992; Nicholson, 1992; Bonatti, 1975). کانسارهای هیدروروتمال عموماً در ارتباط نزدیک با ژلهای سیلیسی آهن دار (ferrigenous) شکل می‌گیرند که به وسیله فرآیندهای فورانی زیردریایی و تخلیه فلز در داخل رسوبات دریایی تشکیل می‌شوند (Roy, 1992). بهمین جهت، درصد وزنی Si در برابر Al معرف درصد

ساخت پرکننده فضای خالی
همان‌گونه که اشاره شده، ساخت پرکننده فضای خالی و رگه‌رگچه‌ای در کانسار داش‌آغل، عمدها در پهنه‌های گسل و شکستگی‌های کمر بالای افق ماده معدنی تشکیل شده است (شکل ۷). این بافت نشان می‌دهد که آهن هم‌زمان با سنگ میزبان تشکیل نشده، بلکه در اثر فعالیت تکتونیکی در درز و شکاف‌های حاصل از تکتونیک شکل گرفته است (شکل ۶).

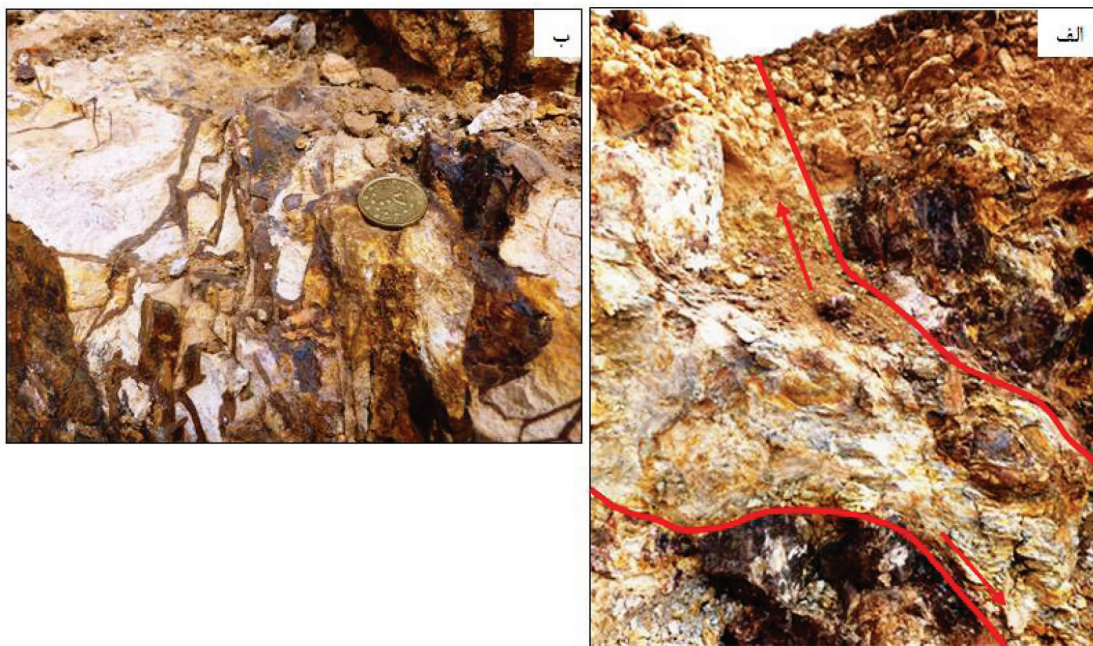
مطالعات ژئوشیمیایی
به‌منظور بررسی ویژگی‌های ژئوشیمیایی ماده معدنی، ۱۰ نمونه از کانسنگ آهن کانسار داش‌آغل مورد تجزیه شیمیایی قرار گرفت که نتایج داده‌های آن‌ها در جدول ۱ نشان داده شده است. با استفاده از نتایج تجزیه شیمیایی کانسنگ‌ها، سعی شده است تا محیط تشکیل کانسار مورد بررسی قرار گیرد. در میان اکسیدهای اصلی، Fe_2O_3 بیشترین مقدار را داشته است؛ به طوری که مقدار میانگین آن

جهت تفکیک کانسارهای هیدروترمال، رسوبی-دریایی (fresh water) و کانسارهای حاصل از آب‌های شیرین (fresh water) به کار برد شد. وی غنی‌شدنی در مجموعه عناصر As, Ba, Cu, Li, Mo, Pb, Sb, Sr, V, Zn کانسارهای هیدروترمال دانسته و همچنین معتقد است که این کانسارها از عناصر Ni و Co تهی شده‌اند. نمونه‌های مربوط به کانسار داش‌آغل، با توجه به نمودار (شکل ۹) از عناصر Pb, Zn, Mo, As, Cu غنی‌شده، اتا از عناصر Ni و Co تهی شده‌اند و در محدوده کانسارهای هیدروترمال قرار می‌گیرند.

بالای SiO_2 در طی فعالیت‌های اگزالاتیو می‌باشد.

در حالی‌که، در کانسارهای با منشأ تخریبی، Al نسبت به Si از درصد بالاتری برخودار است که این امر ناشی از تجزیه و تخریب فلدسپارها در طی حمل و نقل از خشکی به حوضه رسوبی می‌باشد. (Holtstam (2001) بر این باور است که اگر نهشته‌های هیدروترمالی با ذرات تخریبی (کانی‌های رسی) مخلوط شوند، ممکن است نسبت Al/Si کمتر شود. در کانسار مورد مطالعه میانگین نسبت Si/Al در محدوده کانسارهای با منشأ هیدروترمال قرار می‌گیرند (شکل ۹). نمودار دوتایی (As + Cu + Mo + Pb + V + Zn)

در برابر (Co + Ni) اولین بار توسط Nicholson (1992)

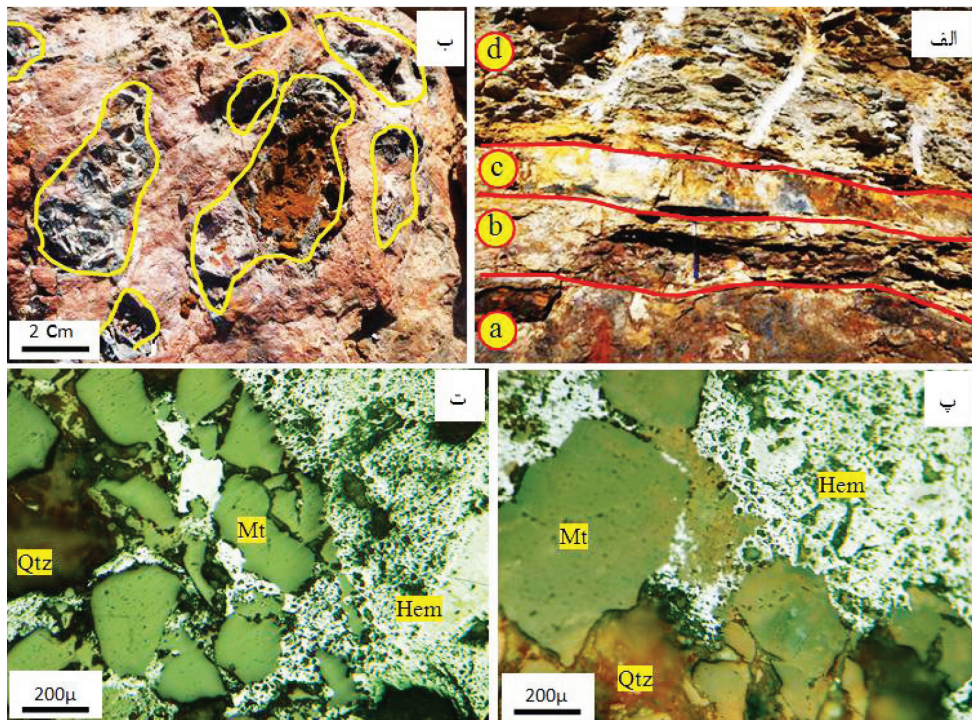


شکل ۶. (الف) تصویر کانی‌زایی آهن در مناطق گسلی، گسل‌های نرم‌الی که در منطقه وجود دارند باعث جابه‌جایی واحد کانه‌دار و تمرکز آن در مناطق گسلی شده است (دید به سمت شمال شرق)، (ب) نمایی نزدیک از کانی‌زایی رکه-رگچه‌ای در کانسار آهن داش‌آغل

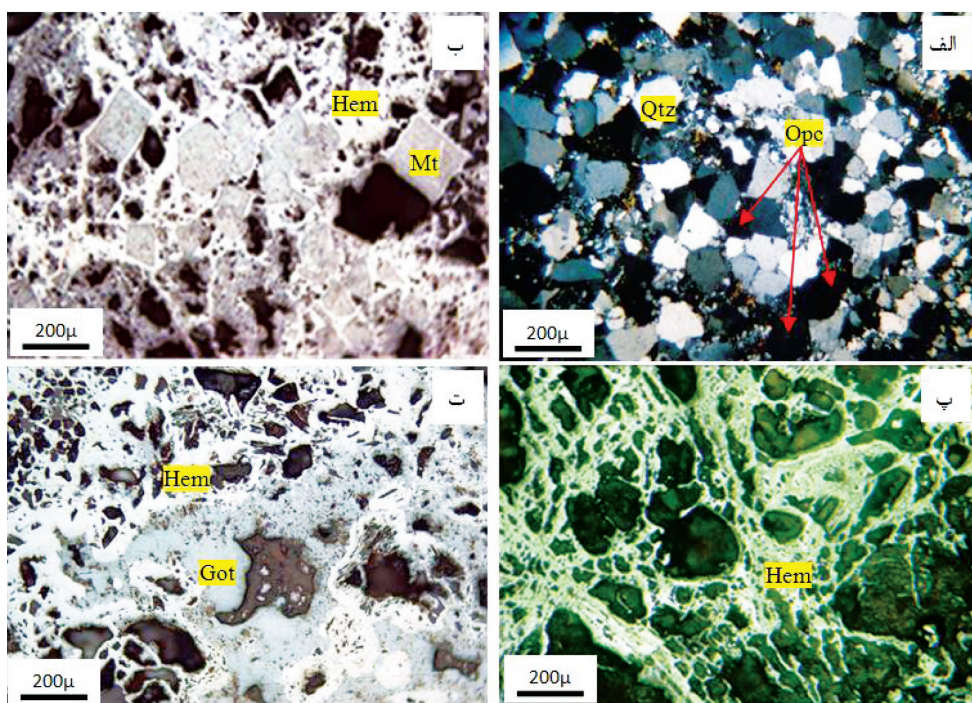
الگوی تشکیل و مراحل تکوین و تکامل کانسار

سنگ‌های میزبان و واحدهای کمپایین و کمربالا، وفور ماده‌معدنی به صورت پراکنده در این سنگ‌های میزبان، میان لایه‌هایی از واحدهای توف و لایه‌های چرتی اگزالاتیو در سنگ میزبان کریباته، نشان می‌دهند که ماده معدنی هم‌زمان با سنگ درون‌گیر به صورت بروندمی تشکیل شده و در مراحل بعد، به مقدار اندک، تحت تأثیر سیالات جوی،

هرچند تاکنون مطالعات علمی دقیقی در زمینه تشکیل این کانسار صورت نگرفته است اما اخیراً مرادی و همکاران (۱۳۹۱)، کانه‌زایی آهن در کانسار داش‌آغل را از نوع لاتریتی معرفی کرده‌اند؛ اما با توجه به شواهدی مانند همشکلی و همخوانی عدسی ماده‌معدنی با



شکل ۷. الف) بافت پرکننده فضای خالی، ب) بافت لایه‌ای در کانسار آهن داش‌آغل، (a) افق کانه‌دار اصلی، (b) توف‌های آغشته به آهن، (c) لایه آهن‌دار، (d) توف‌های کربناتی کمربالا، پ) تصویر میکروسکوپی از بلورهای مگنتیت و هماتیت، ت) تصویر میکروسکوپی از بلورهای مگنتیت که طی فرآیند مارتیتی شدن در حال تبدیل به هماتیت می‌باشد



شکل ۸. الف) تصویر میکروسکوپی از بلورهای خودشکل مگنتیت که طی فرآیند مارتیتی شدن از حاشیه در حال تبدیل به هماتیت هستند، ب) ماسه‌سنگ‌های کمرپایین که به صورت دانه‌پراکنده دارای کانی‌های اوپیک می‌باشند، پ) حضور کانی‌های گوتیت و هماتیت حاصل از هوازدگی در کنار یکدیگر، ت) بافت تیغه‌ای و شبکه‌ای از کانی هماتیت

ب) مرحله کانه‌زایی بروندی و فعالیت‌های ولکانیسم
 در این مرحله میزان فعالیت‌های بروندی افزایش یافته و پالس اصلی سیالات کانه‌دار، وارد محیط دریایی گشته و بهترین آن، افق ماده‌معدنی آهن در این مرحله بهصورت همرون و همشیب با سایر واحدهای سنگی تهذیست یافته است (شکل ۱۰ب). در چنین شرایطی آهن دو ظرفیتی از طریق ولکانیسم و بروندمش وارد حوضه رسوبی شده است. در بخش‌هایی از محیط تهذیست کانسار، به دلیل ایجاد شرایط احیایی محلی، آهن توانسته با گوگرد ترکیب شده و پیریت را بسازد. اما در بخش‌های کم‌عمق‌تر به دلیل پایین بودن مقدار گوگرد، آهن بهصورت هیدروکسید رسوب کرده است به‌طوری‌که کانه‌های هیدروکسید آهن بهصورت لایه‌ای با هم تشکیل شده‌اند. یکی از شواهد مهم بروندمش در این مرحله وجود توفهای کربناتی کمربالا و عدسی‌های چرتی در بخش‌های کمربالایی عدسی معدنی می‌باشد (شکل ۱۱پ).

در پهنه‌های گسلی و خرد شده، تمرکز پیدا کرده است. لازم به ذکر است که لطفی و همکاران (۱۳۹۲) کانسار آهن داش‌آغل را از نوع کانسارهای رسوبی-هیدروترمال معرفی کرده‌اند.

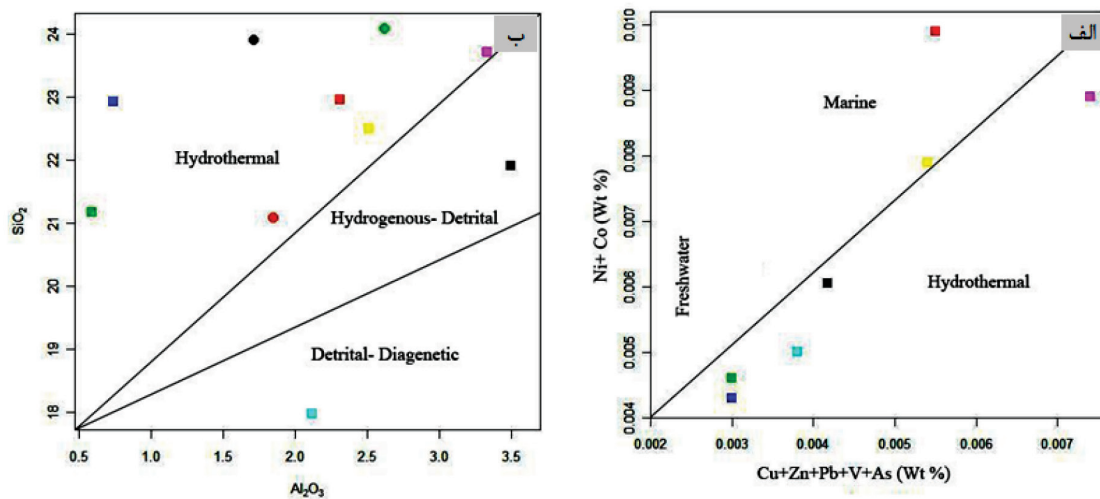
با توجه به مطالعات زمین‌شناسی، چینه‌شناسی، کانه‌نگاری و رئو شیمیابی، الگوی تشکیل و تکوین کانه‌زایی آهن در کانسار داش‌آغل بهصورت زیر می‌باشد (شکل ۱۰):

الف) مرحله هم‌زمان با رسوب‌گذاری

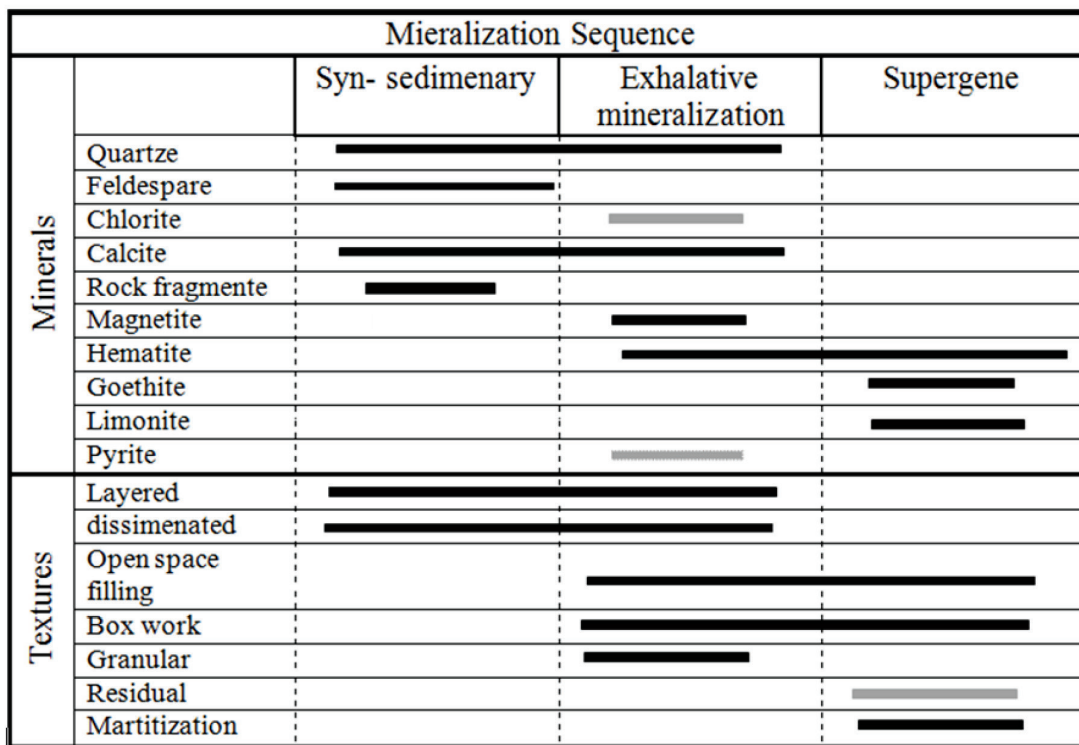
در مرحله نخست کانه‌زایی، با آغاز فرآیندهای بروندی و ولکانیسم زیر دریایی، کانه‌زایی در سنگ‌های تخریبی کمرپایین افق اصلی ماده معدنی تشکیل شده است؛ اما با توجه به پایین بودن نرخ بروندمش ماده معدنی غیراقتصادی و عیار پایین آهن، با بافت دانه‌پراکنده در کمرپایین افق اصلی، شکل گرفته است (شکل ۱۱الف).

جدول ۱. اکسیدهای اصلی، عناصر فرعی و نادر خاکی اندازه‌گیری شده در کانسار آهن داش‌آغل

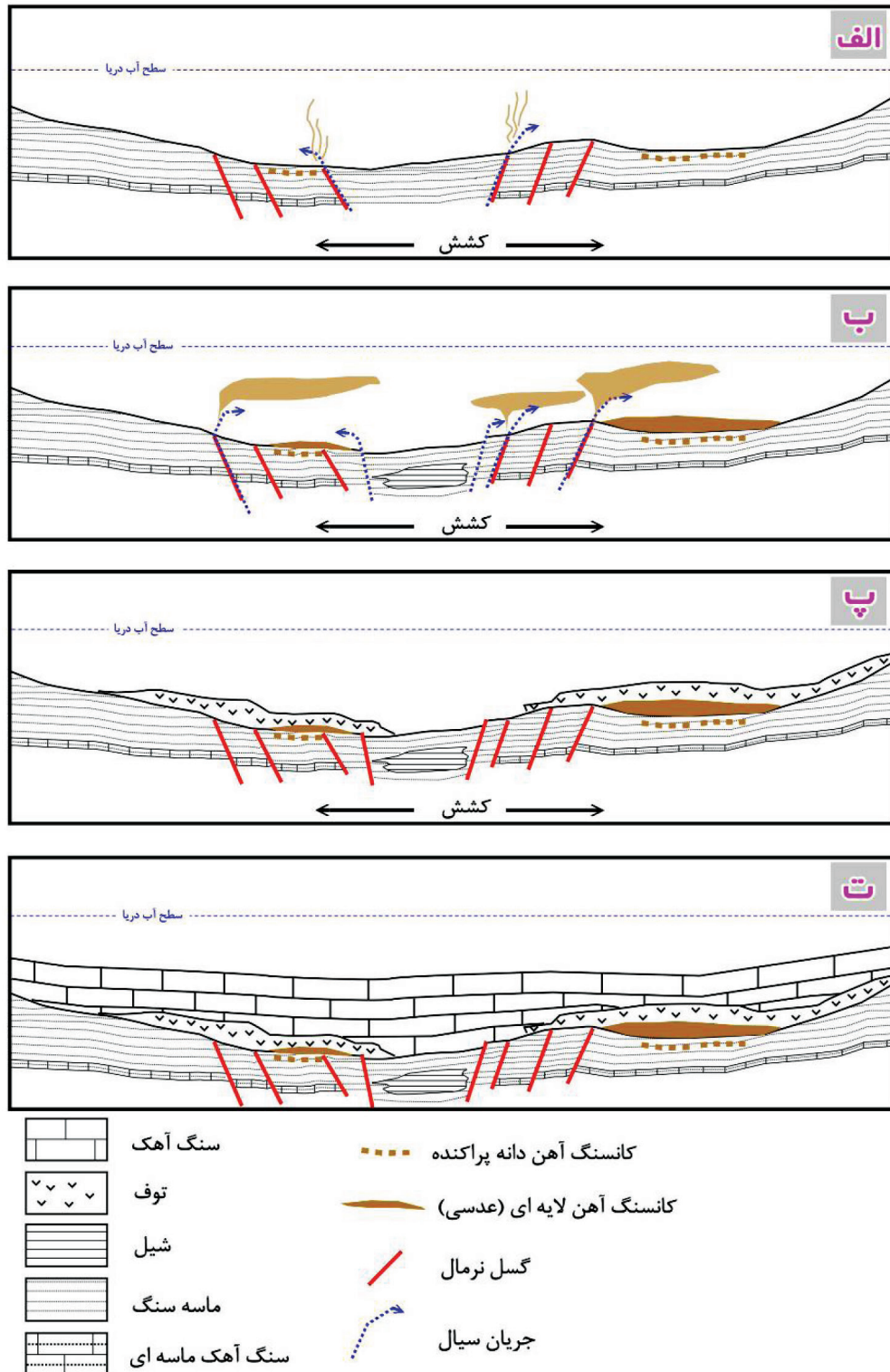
| Sample | Da1 | D-Fe-III | D-Fe-1 | D.Fe.3 | D.Fe.5 | D.Fe.6 | D.Fe.11 | 1258 | d.a | 9766 |
|------------------------------------|-------|----------|--------|--------|--------|--------|---------|-------|-------|-------|
| SiO ₂ (%) | ۲۱/۹ | ۲۲/۹۶ | ۲۱/۱۷ | ۲۲/۹۲ | ۱۷/۹۷ | ۲۳/۷ | ۲۲/۴۹ | ۲۳/۸۹ | ۲۱/۰۷ | ۲۴/۰۷ |
| Al ₂ O ₃ (%) | ۳/۵ | ۲/۳۱ | .۵۰ | .۷۴ | ۲/۱۲ | ۳/۳۳ | ۲/۵۱ | ۱/۷۱ | ۱/۸۵ | ۲/۶۲ |
| Fe ₂ O ₃ (%) | ۶۴/۲۳ | ۷۰/۷۰ | ۶۴/۳۹ | ۷۰/۳۳ | ۷۴/۰۸ | ۶۰/۸۷ | ۶۸/۷۵ | ۶۸/۴۶ | ۷۳/۰۸ | ۶۹/۰۸ |
| CaO (%) | ۶/۲۶ | ۲ | ۱۰/۲۵ | ۵/۰۰ | ۵/۱۳ | ۲/۳۸ | ۴/۷۷ | ۴/۱۴ | ۱/۸۶ | ۲/۰۱ |
| Na ₂ O (%) | .۰۰۲ | .۰۰۴ | .۰۰۳ | .۰۰۱ | .۰۰۱ | .۰۰۱ | .۰۰۱ | .۰۰۳ | . | . |
| K ₂ O (%) | .۰۲۱ | .۰۰۴ | .۰۰۲ | .۰۰۴ | .۰۰۷ | .۰۰۴ | .۰۰۴ | .۰۰۳ | .۰۰۱ | .۰۰۱ |
| MgO (%) | .۰۷۵ | .۰۲۵ | .۰۳۸ | .۰۱۰ | .۰۲۳ | .۰۶۰ | .۰۴۳ | .۰۲۲ | .۰۳۰ | .۰۳۵ |
| TiO ₂ (%) | .۰۱۸ | .۰۰۷ | .۰۰۱ | .۰۰۴ | .۰۰۹ | .۰۱۲ | .۰۰۹ | .۰۰۸ | .۰۰۷ | .۰۰۸ |
| MnO (%) | .۱۰۲ | .۰۲۹ | .۰۹۸ | .۰۴۵ | .۰۳۲ | .۰۳۱ | .۰۲۷ | .۰۷۳ | .۰۵۷ | .۰۷۳ |
| P ₂ O ₅ (%) | .۰۵۷ | .۱۰۶ | .۰۱۸ | .۰۲۰ | .۰۱۵ | .۰۰۷ | .۰۰۵ | .۰۶۶ | .۰۳۵ | .۰۷۹ |
| SO ₃ (%) | .۰۰۲ | .۰۰۳ | .۰۰۴ | . | .۰۱۷ | .۰۰۴ | .۰۰۲ | .۰۲۸ | .۰۰۵ | .۰۲۱ |
| Cl (ppm) | ۶۰ | ۲۲۲ | ۱۷۷ | ۶۸ | ۱۰۸ | ۶۹ | ۷۷ | | | |
| Ba (ppm) | ۱۳۰ | ۱۱۹ | ۳۹۸ | ۱۴۶ | ۱۱۵ | ۱۷۱ | ۱۴۸ | | | |
| Sr (ppm) | ۵۵ | ۸ | ۳۹ | ۴ | ۱ | ۳ | ۲ | | | |
| Cu (ppm) | ۱ | ۳ | ۵ | ۲ | ۲ | ۱ | ۱ | | | |
| Zn (ppm) | ۳۱ | ۵۱ | ۱۹ | ۲۷ | ۳۳ | ۵۸ | ۴۸ | | | |
| Pb (ppm) | ۳ | ۱ | ۴ | ۱ | ۳ | ۱۴ | ۴ | | | |
| Ni (ppm) | ۶۳ | ۹۹ | ۴۶ | ۴۳ | ۵۰ | ۸۹ | ۷۹ | | | |
| Cr (ppm) | ۵۳ | ۴۸ | ۱۷ | ۱۵ | ۳۴ | ۷۹ | ۸۳ | | | |
| V (ppm) | ۲۰۸ | ۱۶۵ | ۱۰۲ | | | | | | | |
| Ce (ppm) | ۴ | ۲ | ۳ | | | | | | | |
| La (ppm) | ۲ | ۱ | ۱ | | | | | | | |
| W (ppm) | ۱ | ۱ | ۱ | | | | | | | |
| Zr (ppm) | ۳۲ | ۲ | ۷ | | | | | | | |
| Y (ppm) | ۲ | ۱ | ۳ | | | | | | | |
| Rb (ppm) | ۱۷ | ۱۷ | ۱۵ | | | | | | | |
| Co (ppm) | ۳ | ۱ | ۱ | | | | | | | |
| As (ppm) | ۳۳۳ | ۱۰۵ | ۲۰۷ | | | | | | | |
| U (ppm) | ۱ | ۱ | ۱ | | | | | | | |
| Th (ppm) | ۴ | ۸ | ۲ | | | | | | | |



شکل ۹. (الف) نمودار دوتایی عنصر کمیاب (Nicholson, 1992) که بیشتر نمونه‌ها در بخش کانسارهای هیدروترمال قرار گرفته‌اند، (ب) نمودار دوتایی SiO_2 در برابر Al_2O_3 (Choi and Hariya, 1992) و موقعیت نمونه‌های مربوط به کانسار آهن داش‌آغل و خاستگاه آن‌ها



شکل ۱۰. توالی پارازئتیک کانی‌ها و کانه‌ها و بافت و ساخت کانه‌ها در کانسار آهن داش‌آغل



شکل ۱۱. طرح کلی مراحل اصلی تشکیل کانسار آهن داش‌آغل، (الف) رسوب‌گذاری واحد ماسه‌سنگی و هم‌زمان با آن تشکیل کانه‌زایی دانه‌پراکنده در این واحد در اثر فعالیت‌های بروندمی ضعیف حاصل از کشش، (ب) تشکیل عدسی‌های کانه‌دار پرعيار در اثر شدت زیاد فرایندهای بروندمی، (پ) فعالیت ولکانیسم و رسوب‌گذاری واحد توفی به عنوان کمربالای ماده معدنی، (ت) افزایش عمق حوضه رسوبی و تنشست واحد آهکی

پهنه دگرگونه سنندج-سیرجان: بر اساس مطالعه ساخت،
بیافت و میکروترمومتری سیالات درگیر، مجله زمین‌شناسی
قتصادی، ۱، ۲، ۹۷-۱۲۱.

- توکلی، ح.، ۱۳۸۲. کانی‌شناسی، زئوشیمی و خاستگاه کانسراهای آهن شمال غرب همدان، پایان‌نامه کارشناسی ارشد، دانشکده علوم پایه دانشگاه تربیت مدرس، ۱۵۶.

- شیاب قدسی، ع.، ۱۳۸۹. مطالعه شیل‌های زغالدار منطقه بیکلو شاهین دز، چهاردهمین همایش انجمن زمین‌شناسی ایران و بیست و هشتمین گردهمایی علوم زمین، ارومیه.

- خدابنده، ع.، ۱۳۸۳. نقشه زمین‌شناسی ۱:۱۰۰۰۰۰
- میاندوآب، سازمان زمین‌شناسی و اکتشافات معدنی کشور.
- عابدینی، ع.، کلارگی، ع.، حاج علیلو، ب. و جهانگیری، ا.، ۱۳۸۷. مطالعات کانی‌شناسی و ژئوشیمیایی عناصر خاکی کمیاب (REE) در نهشته بوکسیتی پرمو-تریاس شمال خاوری بوکان، شمال باختری ایران، مجله شناسی، و کانی‌شناسی ایران، ۱۶، ۳، ۴۵۹-۴۷۲.

- عابدینی، ع. و کلاگری، ع. ۱۳۸۹. *ژئوشیمی کانسنسنگ‌های بوکسیتی-لاتریتی جوانمرد، شمال خاور یوکاکان، استان آذربایجان غربی، فصل نامه زمین‌شناسی*. ۲۹-۳۸، ۱۵، ۴، بان.

- لطفی، ن.، حاج علیلو، ب. و علوی، غ.، ۱۳۹۲، بررسی پتروگرافی و میکروتومتری میانوارهای سیال کانسنس آهن داش-آغل، شرق شهرستان بوکان، پنجمین همایش انجمن زمین‌شناسی اقتصادی ایران دانشگاه فردوسی مشهد.

- فرهادی، ر.، ۱۳۷۴. مطالعه زمین‌شناسی،
ژئوشیمی، آنالیز رخسارهای و ژنز کانسوار آهن منگنزدار
شمس آباد، اراک، پایان نامه کارشناسی ارشد، دانشکده
علوم پایه دانشگاه تربت مدرس، ۱۲۸.

- مرادی، ش.، عابدینی، ع. و علیزاده، ا. ۱۳۹۱، زمین‌شیمی عناصر نادر خاکی افق لاتریت رسی داش آغل، شرق بوکان، استان آذربایجان غربی، چهارمین همایش نیجمن زمین‌شناسی اقتصادی ایران دانشگاه پی‌جنده.

- Bonatti, E., 1975. Metallogenesis at oceanic spreading centers. Annual Review of Earth and Planetary Sciences, 3, 401-431.

ج) مرحله هوازدگی سوپرژن

در این مرحله عملکرد فرآیندهای هوازدگی موجب تشکیل کانی‌های ثانویه شده است، بهطوری‌که طی فرآیند اکسیداسیون در بخش‌های کم‌عمق و سطحی کانسار، کانی‌هایی از جمله هماتیت (مارتیت)، گوتیت و لیمونیت تشکیل شده‌اند. همچنین تحت تأثیر سیالات جوی، کانه‌های ثانویه در پهنه‌های گسلی و خرد شده، تمرکز یافته‌اند. بهطورکلی فرآیندهای تشکیل آهن داش‌آغل در شکل ۱۱ نشان داده شده است.

نتیجہ گیری

با توجه به تمامی داده‌های زمین‌شناسی، چینه‌شناسی،
ژئومتری (عدسی همروند با لایه‌بندی)، ساخت و بافت ماده
معدنی، کانی‌شناسی، ژئوشیمی و الگوی تشکیل کانه‌زایی آهن
در کانسار داش‌آغل، این کانسار را می‌توان در رده کانسارهای
آتشفشانی-رسوبی قرار داد. نکته جالب توجه اینکه در پهنه‌ی
سنندج-سیرجان علاوه بر ذخیره داش‌آغل، معدن آهن
منگنزدار شمس‌آباد در جنوب اراک، در سنگ‌های کربناته
با سن کرتاسه رخ داده است. فرهادی (۱۳۷۴) تشکیل
کانسار شمس‌آباد را نیز در سه مرحله رسوب‌گذاری، دیاپیزون
و دگرشكلي و از نوع آتشفشانی-رسوبی معرفی کرده است.
نظر به اینکه کانسار آهن داش‌آغل به صورت عدسی همروند
با لایه‌بندی در داخل توفها و ماسه‌سنگ‌های ژوراسیک
تشکیل شده و این توالی آتشفشانی-رسوبی ژوراسیک در
ساير بخش‌های پهنه‌ی سنندج-سیرجان نيز گزارش شده، لذا
این نوع از کانه‌زایی نمی‌تواند صرفاً محدود به منطقه مورد
مطالعه باشد. بنابراین در مناطقی با زمین‌شناسی مشابه،
امکان اكتشاف کانسارهای مشابه دور از انتظار نخواهد بود.

منابع

- افتخارنژاد، ج.، ۱۳۵۳. گزارش نقشه زمین‌شناسی ۱:۲۵۰۰۰۰ مهاباد، سازمان زمین‌شناسی و اکتشافات معدنی کشور. ۱۰۸.

- تاج الدين، ح. راستاد، ا. يعقوبپور، م. و مجل، م. ۱۳۸۹. مراحل تشكيل و تكوين كانسار سولفيid تودهای غنی، از طلای، باریکا، خاور سردشت، شمال باخر

- Choi, J.H. and Hariya, Y., 1992. Geochemistry and depositinal environment of Mn oxide deposits in the Tokoro belt, northeastern Hokkaido, Japan, *Economic Geology*, 87, 1265-1274.
- Crerar, D.A., 1982. Mangani Ferou Cherts of the Franciscan assemblage: In General geology, ancient and modern analogues, and implication for hydrothermal convection at ocean spreading centers, *Economic Geology*, 77, 519-540.
- Holtstam, D., 2001. W and V mineralization in Longban-type Fe-Mn deposits: Epigenetic or syngenetic? *GFF*, 123, 29-33.
- Mohajjal, M., Fergusson, C.L. and Sahandi, M.R., 2003. Cretaceous-Tertiary convergence and continental collision, Sanandaj-Sirjan zone, western Iran, *Journal of Asian Earth Sciences*, 21, 397-412.
- Nicholson, K., 1992. Genetic type of manganese oxide deposits in Scotland: Indicators of palo-ocean-spreading rate and a Devonian geochemical mobility boundary. *Economic Geology*, 87, 1301-1309.
- Ramdohr, P., 1980. The ore minerals and their intergrowth, Elsevier, 1192.
- Roy, S., 1992. Environments and processes of manganese deposition. *Economic Geology*, 87, 1218-1236.
- Tucker, M.E., 2001. *Sedimentary Petrology, an introduction to the origin of sedimentary rocks*, Second edition, 272.
- Force, E.R. and Cannon, W.F., 1988. Depositional model for shallow-marine manganese deposits around black shale basins. *Economic Geology*, 83, 93-117.